

©1995 г.

ЭФФЕКТ ОХЛАЖДЕНИЯ, ВЫЗЫВАЕМЫЙ ОТРИЦАТЕЛЬНОЙ ЛЮМИНЕСЦЕНЦИЕЙ

B.I.Pipa

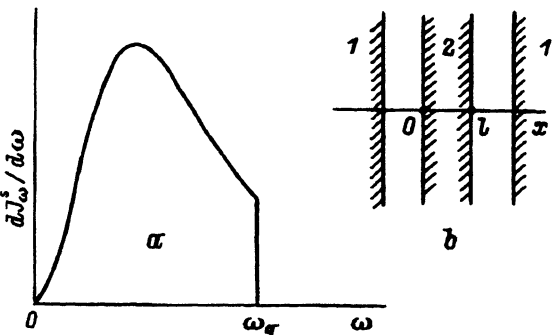
Институт физики полупроводников Академии наук Украины,
252650, Киев, Украина

(Получена 24 июня 1994 г. Принята к печати 5 сентября 1994 г.)

Исследован эффект радиационного охлаждения, вызываемого полупроводниковым источником отрицательной межзонной люминесценции. Получены теоретические зависимости температуры охлаждаемого плоского слоя от мощности люминесценции, поглощательных способностей слоя и полупроводника и их начальной температуры. Рассмотрен нестационарный эффект с учетом конкурирующего нагрева слоя тепловым излучением полупроводника. Показана возможность значительного понижения температуры слоя при использовании оптических фильтров.

Тепловое излучение полупроводника в спектральной области $\omega \geq E_g/\hbar$ (E_g — ширина запрещенной зоны) обусловлено главным образом излучательной рекомбинацией свободных электронов и дырок. Если их неравновесные концентрации n и p каким-нибудь способом поддерживаются меньшими равновесных значений $n_0(T)$ и $p_0(T)$, то интенсивность излучения полупроводника в этой части спектра может быть ниже интенсивности его равновесного излучения при неизменной температуре T (отрицательная люминесценция (ОЛ) [1,2]). В изотермических условиях поглощение таким полупроводником окружающего излучения преобладает над его излучением. По аналогии с определением люминесценции как «холодного свечения», ОЛ можно назвать «холодным поглощением».

Источник ОЛ отбирает радиационным способом энергию от окружающих его тел и тем самым понижает их температуру. Такой эффект охлаждения экспериментально исследован в работе [3]. Если источник ОЛ «облучает» другой полупроводник, то в последнем возможны эффекты, обусловленные влиянием дефицита фотонов на электронно-дырочную подсистему (уменьшение концентрации электронов и дырок [4,5], отрицательный фотомагнитный эффект [6]). Они проявляются и в том случае, когда температура кристаллической решетки не изменяется. В данной работе теоретически исследуются основные закономерности эффекта радиационного охлаждения.



a — спектральная плотность излучения источника отрицательной люминесценции ($R = 0$).
b — исследуемая система: 1 — источник отрицательной люминесценции, 2 — охлаждаемый слой.

Рассмотрим охлаждение плоского слоя, отделенного от поверхностей источников ОЛ вакуумными зазорами (см. рисунок). В начальный момент времени $t = 0$ температура слоя T совпадает с температурой источника $T_s(0) = T_0$. При $t > 0$ интенсивность излучения с единичной площадки поверхности источника в телесном угле $d\Omega$ под углом θ к нормали запишем в виде

$$dJ_\omega^s = (1 - R) J_{0\omega}(T_s) \zeta(\omega_g - \omega) \cos \theta d\Omega d\omega,$$

$$J_{0\omega} = (\hbar\omega^3 / 4\pi^3 c^2) [\exp(\hbar\omega/kT) - 1]^{-1}. \quad (1)$$

Здесь $R(\omega, \theta)$ — коэффициент отражения излучения от поверхности источника, $\omega_g = E_g/\hbar$, $\zeta(z) = 1$ при $z > 0$ и $\zeta(z) = 0$ при $z < 0$. Излучение полупроводника в диапазоне $\omega > \omega_g$ практически полностью отсутствует, если в приповерхностной области, толщина которой превышает обратный коэффициент межзонного поглощения $\alpha^{-1}(\omega)$, выполняется условие сильного истощения $pr \ll n_0 n_p$. Такая ситуация легко реализуется при гальваномагнитной люминесценции [2], а также при других способах возбуждения ОЛ (контактная эксклюзия [7], электролюминесценция в варизонных полупроводниках [8]) в электрических полях, не греющих электронный газ. Джоулев нагрев увеличивает интенсивность теплового излучения в области $\omega < \omega_g$. Структура спектра излучения в узкой области прозрачности вблизи ω_g для расчета теплового эффекта несущественна. Отметим еще, что если в равновесном состоянии электроны вырождены, то положение ступеньки в зависимости (1) вблизи ω_g зависит от типа проводимости. При собственной проводимости электронный газ при биполярном истощении может стать невырожденным, $\alpha(\omega)$ в области $E_g < \omega < E_F$ (E_F — уровень Ферми) увеличивается, и при сильном истощении ступенька соответствует E_g/\hbar . В полупроводнике n -типа удаление неосновных носителей мало изменяет концентрацию электронов n и в этом случае положение ступеньки находится вблизи E_F/\hbar .

Температура слоя $T(x, t)$ определяется уравнением

$$\rho C_p \frac{\partial T}{\partial t} = \kappa \frac{\partial^2 T}{\partial x^2} + Q, \quad (2)$$

где ρ и C_p — плотность и удельная теплоемкость, κ — коэффициент теплопроводности, $Q(x, t)$ — количество тепла, выделяемого излучением в единице объема за 1 с. В общем случае функция $Q(x)$ зависит от распределения температуры $T(x)$ нелокальным образом [9].

Предполагаем, что время выравнивания температуры по толщине l слоя из-за теплопроводности значительно меньше характерного времени радиационного охлаждения. В этом приближении неоднородность распределения температуры можно не учитывать и зависимость $T(t)$ определяется из уравнения баланса, которое получается интегрированием (2) по толщине пластины с учетом условия

$$\frac{\partial T}{\partial x} \Big|_{x=0} = \frac{\partial T}{\partial x} \Big|_{x=l}.$$

Пусть dJ_ω — интенсивность теплового излучения слоя (с одной поверхности). Поглощаемая слоем мощность равна AdJ_ω^Σ , где $A(\omega, \theta)$ — поглощающая способность, dJ_ω^Σ — интенсивность суммарного потока в зазоре в направлении к слою. Последняя определяется с учетом многократных отражений от границ разделов и для рассматриваемой плоскопараллельной системы имеет вид

$$dJ_\omega^\Sigma = \frac{dJ_\omega^s + RdJ_\omega}{1 - R + AR}. \quad (3)$$

Интегрируя разность потоков $AdJ_\omega^\Sigma - dJ_\omega$ по всем частотам и углам, получим уравнение баланса в виде

$$\rho C_p l \frac{dT}{dt} = \bar{A}\sigma(T_s^4 - T^4) - \bar{A}_g J_g(T_s). \quad (4)$$

Здесь σ — постоянная Стефана–Больцмана.

$$J_g(T) = \pi \int_{\omega_g}^{\infty} J_{0\omega}(T) d\omega, \quad (5)$$

\bar{A} и \bar{A}_g — средние по спектру значения функции $A(\omega)$:

$$A(\omega) = 2 \int \frac{A(1-R)}{1-R+AR} \cos \theta d\Omega, \quad A(\omega_1, \omega_2) = \int_{\omega_1}^{\omega_2} AJ_{0\omega} d\omega \left(\int_{\omega_1}^{\omega_2} J_{0\omega} d\omega \right)^{-1},$$

$$\bar{A} = A(0, \infty), \quad \bar{A}_g = A(\omega_g, \infty). \quad (6)$$

Температурная зависимость параметров \bar{A} и \bar{A}_g не учитывается.

Конечная температура слоя T_f устанавливается при достижении стационарного теплообмена, что возможно в отсутствие джоулевого нагрева. Из (4) получим

$$T_f = T_0 \left(1 - J_g(T_0) \bar{A}_g / \sigma T_0^4 \bar{A} \right)^{1/4}. \quad (7)$$

Если $\exp(-E_g/kT_0) \ll 1$, то

$$J_g(T) = \frac{kTE_g^3}{4\pi^2 c^2 \hbar^3} \left[1 + 3\frac{kT}{E_g} + 6 \left(\frac{kT}{E_g} \right)^2 + 6 \left(\frac{kT}{E_g} \right)^3 \right] \exp \left(-\frac{E_g}{kT} \right). \quad (8)$$

В этом случае $J_g(T_0) \ll \sigma T_0^4$ и изменение температуры мало:

$$\Delta T_f = -\frac{J_g(T_0)\bar{A}_g}{4\sigma T_0^3 \bar{A}}. \quad (9)$$

Пусть охлаждаемый слой является черным телом, и его излучение полностью поглощается источником ($A = 1, R = 0$). В этом случае, а также для серых тел, для которых A и R не зависят от ω , $\bar{A}_g = \bar{A}$. Для $E_g = 0.18 \text{ эВ}$, $T_0 = 300 \text{ К}$ получим $J_g = 3.6 \cdot 10^{-3} \text{ Вт/см}^2$, $\sigma T_0^4 = 4.6 \times 10^{-2} \text{ Вт/см}^2$, $\Delta T_f = -5.8 \text{ К}$.

В общем случае величина эффекта охлаждения зависит от частотной дисперсии поглощающих способностей охлаждаемого вещества и полупроводника, а также от состояния их поверхностей. Его можно вычислить, зная функции $A(\omega, \theta)$ и $R(\omega, \theta)$. Если не используются специальные фильтры или покрытия, существенно изменяющие отражение или поглощение излучателя в области $\omega > \omega_g$ по сравнению с их значениями в основной части спектра $\omega < \omega_g$, то $\bar{A}_g/\bar{A} \approx 1$.

Рассмотрим временную зависимость эффекта с учетом джоулевого нагрева полупроводникового источника ОЛ. Температура T_s в (4) увеличивается по закону $T_s = T_0(1 + t/\tau_s)$, постоянная $\tau_s \sim I^{-2}$, где I — средняя плотность электрического тока. Полагая относительные изменения температур $\Delta T/T_0$ и $\Delta T_s/T_0$ малыми, из линеаризованного уравнения (4) получим

$$\Delta T(t) = \left(\Delta T_f - T_0 \frac{\tau}{\tau_s} \right) \left(1 - e^{-\frac{t}{\tau}} \right) + T_0 \frac{t}{\tau_s}, \quad (10)$$

$$\tau = \rho C_p l / 4\sigma T_0^3 \bar{A}. \quad (11)$$

Из (10) следует, что температура слоя $T(t)$ с ростом t сначала снижается, достигает минимального значения T_m , затем увеличивается и при достаточно больших временах охлаждение слоя сменяется его нагревом ($T > T_0$). Достигаемое охлаждение $T_m - T_0$ близко к стационарному значению ΔT_f (9), если $\tau/\tau_s \ll |\Delta T_f|/T_0$.

Влияние нагрева можно уменьшить, если между источником и охлаждаемым слоем поместить фильтр, пропускающий излучение с частотами $\omega > \omega_g$ и поглощающий излучение в основной части спектра $\omega < \omega_g$. Если фильтр имеет большую теплоемкость, то его температура T_0 за время охлаждения слоя не изменяется. Рассмотрим охлаждение черного тела ($A = 1$). Тепловым излучением фильтра в области его прозрачности пренебрегаем. В этом случае $T(t)$ определяется уравнением (4), в котором $R(\omega)$ заменяется на коэффициент отражения фильтра $R_1(\omega)$ для $\omega < \omega_g$, а для $\omega > \omega_g$ — на коэффициент $R_2(\omega)$, учитывающий отражение как от фильтра, так и от поверхности источника.

Пусть средние значения $R_1(\omega)$ и $R_2(\omega)$, определяемые по типу (6) для областей $\omega < \omega_g$ и $\omega > \omega_g$, равны r_1 и r_2 соответственно. Стационарное уравнение баланса (4) принимает вид

$$(1 - r_1) [\sigma(T^4 - T_0^4) + J_g(T_0)] + (r_1 - r_2) J_g(T) = 0. \quad (12)$$

В пределе $r_1 \rightarrow 1$ из (12) следует $T \rightarrow 0$. В такой идеальной системе поток внешнего излучения в направлении к слою отсутствует, слой охлаждается, излучая фотоны с частотами $\omega > \omega_g$. Этот пример показывает, что эффект охлаждения можно увеличить, используя фильтр с большим коэффициентом отражения в области его непропускания $\omega < \omega_g$. Для $E_g = 0.18 \text{ эВ}$, $T_0 = 300 \text{ К}$, $r_1 = 0.7$, $r_2 = 0.4$ получим $\Delta T = -13 \text{ К}$.

Зависимость величины охлаждения как черных, так и не черных тел от их начальной температуры имеет, согласно (8) и (9), вид

$$\Delta T(T_0) \sim T_0^{-2} \exp(-E_g/kT_0). \quad (13)$$

Это совпадает с зависимостью $\Delta T(T_0)$, полученной в работе [3] при исследовании охлаждения полупроводникового слоя. Для охлаждаемого черного тела в [3] предложена зависимость $\Delta T(T_0) \sim T_0^{-3}$.

Полученные результаты описывают однородную температуру слоя, который одинаково охлаждается с двух сторон. Температуру слоя можно считать однородной для времен $t > \tau_\kappa = \rho C_p l^2 / \kappa$, при этом зависимость $\Delta T(t)$ (10) справедлива, если $\tau_\kappa \ll \tau$. Однородная температура устанавливается и при одностороннем охлаждении слоя, противоположная поверхность которого металлизирована, т.е. теплообмен через эту поверхность пренебрежимо мал. В этом случае параметры \tilde{A} и \tilde{A}_g в уравнении (4) в 2 раза меньше, чем их значения в (6), изменение температуры определяется теми же формулами (9), (10), постоянная τ в (10) увеличивается в 2 раза по сравнению с τ в (11). Если поглощение излучения слоем имеет поверхностный характер, то радиационный вклад Q можно исключить из уравнения (2), учитывая его стандартным образом в граничных условиях для T . В случае одностороннего охлаждения слоя с одинаковыми поверхностями среднее по толщине слоя изменение стационарной температуры при $\tau_\kappa \ll \tau$ оказывается в 2 раза меньше, чем ΔT_f (9).

Приведенные результаты определяют максимальную величину охлаждения, вызываемого полупроводником с полностью подавленным рекомбинационным излучением ($\omega > \omega_g$). Сопутствующий нагрев слоя тепловым излучением полупроводника ($\omega < \omega_g$) можно уменьшить, используя более слабые токи, при которых мощность ОЛ еще не достигает предельной величины. Если при этом концентрации электронов и дырок в приповерхностной области толщиной порядка α^{-1} практически однородны, то в выше приведенных формулах J_g следует заменить на $(1 - np/n_{p0})J_g$. В работе [3] при слабой гальваномагнитной люминесценции пластинки InSb достигнуто охлаждение слоя $\Delta T \approx -1 \text{ К}$.

Работа финансируется из фонда фундаментальных исследований ГКНТ Украины.

Список литературы

- [1] В.И. Иванов-Омский, Б.Т. Коломиец, В.А. Смирнов. ДАН СССР, **161**, 1308 (1965).
- [2] С.С. Болгов, В.К. Малютенко, В.И. Пипа. ФТП, **17**, 208 (1983).
- [3] Р. Berdahl. *Proc. 18th. Int. Conf. on Phys. of Semicond.* (Stockholm, 1986) p. 1595.
- [4] В.И. Пипа. ФТП, **22**, 553 (1988).
- [5] В.И. Пипа. Препринт № 3, ИП АН УССР (Киев, 1988).
- [6] В.И. Пипа, Е.И. Яблоновский, В.К. Малютенко. ФТП, **24**, 1176 (1990).
- [7] В.К. Малютенко, А.М. Рыбак, А.Г. Коллюх. ЖПС, **47**, 299 (1987).
- [8] С.С. Болгов, В.К. Малютенко, В.И. Пипа, А.П. Савченко. Письма ЖТФ, **15**, 49 (1989).
- [9] Я.Б. Зельдович, Ю.П. Райзер. *Физика ударных волн и высокотемпературных явлений* (М., Наука, 1966).

Редактор Т.А. Полянская

A cooling effect due to the negative luminescence

V.I.Pipa

Semiconductor Institute, Ukrainian Academy of Sciences, 252650 Kiev, the Ukraine
